

基于 HPLC 指纹图谱和化学计量学的不同产地雪菊质量评价

程伟^{1a}, 薛文静², 陈新梅^{1a*}, 赵元^{1b}(1.山东中医药大学, a.药学院, b.实验室管理处, 济南 250355; 2.青岛市食品药品检验研究院, 山东 青岛 266071)

摘要: 目的 建立雪菊 HPLC 指纹图谱, 结合化学计量学, 测定 4 种成分含量, 评价不同产地雪菊质量。方法 采用依利特 SinoChrom ODS-BP C₁₈ 色谱柱(4.6 mm×250 mm, 5 μm), 以乙腈-0.1%磷酸溶液为流动相, 梯度洗脱; 流速为 0.6 mL·min⁻¹; 检测波长为 295 nm; 柱温为 30 ℃; 建立不同产地雪菊指纹图谱, 进行相似度评价、聚类分析、主成分分析、偏最小二乘法-判别分析, 结合变量重要性投影值筛选认识主要差异成分, 进行含量测定。结果 12 批雪菊指纹图谱含 21 个共有峰, 所有样品与对照图谱相似度均 ≥0.942; 经聚类分析和主成分分析, 12 批雪菊聚为 3 类; 偏最小二乘法-判别分析结果与聚类分析一致, 变量重要性投影值筛选的 4 个主要差异成分含量分别为马里昔 40.05~61.25 mg·g⁻¹, 黄诺马昔 7.44~19.82 mg·g⁻¹, 芦丁 0.85~2.03 mg·g⁻¹, 绿原酸 2.56~9.73 mg·g⁻¹。结论 建立的指纹图谱分析与含量测定方法可靠、重复性好, 为雪菊的整体质量评价提供了参考。

关键词: 雪菊; 指纹图谱; 化学计量学; 含量测定; 质量评价

中图分类号: R917.101 文献标志码: B 文章编号: 1007-7693(2022)11-1444-06

DOI: 10.13748/j.cnki.issn1007-7693.2022.11.008

引用本文: 程伟, 薛文静, 陈新梅, 等. 基于 HPLC 指纹图谱和化学计量学的不同产地雪菊质量评价[J]. 中国现代应用药学, 2022, 39(11): 1444-1449.

Quality Evaluation of *Coreopsis Tinctorial* from Different Producing Areas Based on HPLC Fingerprint and Chemometrics

CHENG Wei^{1a}, XUE Wenjing², CHEN Xinmei^{1a*}, ZHAO Yuan^{1b}(1. Shandong University of Traditional Chinese Medicine, a. College of Pharmacy, b. Laboratory Management, Jinan 250355, China; 2. Qingdao Research Institute for Food and Drug Control, Qingdao 266071, China)

ABSTRACT: OBJECTIVE To establish HPLC fingerprint of *Coreopsis tinctorial*, so as to evaluate the quality of *Coreopsis tinctorial* from different areas by content determination of four components combined with chemometrics. **METHODS** Elite SinoChrom ODS-BP C₁₈ column(4.6 mm×250 mm, 5 μm) was used, the mobile phase was acetonitrile-0.1% phosphoric acid solution, gradient elution, the flow rate was 0.6 mL·min⁻¹, the detection wavelength was 295 nm, and the column temperature was 30 ℃. The fingerprint of *Coreopsis tinctorial* from different producing areas was established, and the similarity evaluation, cluster analysis(CA), principal component analysis(PCA) and partial least square discriminant analysis(PLS-DA) were carried out. Combined with the projectionvalue of variables(VIP), the main difference components were identified and the content was determined. **RESULTS** The fingerprints of 12 batches of *Coreopsis tinctorial* contained 21 common peaks, and the similarity between all samples and the control map was ≥0.942. By CA analysis and PCA analysis, 12 batches of *Coreopsis tinctorial* were grouped into 3 groups. The results of PLS-DA analysis were consistent with those of CA analysis. The contents of four main differential components selected by VIP value were marinoside 40.05~61.25 mg·g⁻¹, flavanomanthin 7.44~19.82 mg·g⁻¹, rutin 0.85~2.03 mg·g⁻¹, chlorogenic acid 2.56~9.73 mg·g⁻¹, respectively. **CONCLUSION** The fingerprint analysis and content determination method established in this experiment is reliable and reproducible, which provides a basis for the overall quality evaluation of *Coreopsis tinctorial*.

KEYWORDS: *Coreopsis tinctorial*; fingerprint; chemometrics; content determination; quality evaluation

雪菊为菊科金鸡菊属植物两色金鸡菊 *Coreopsis tinctoria* Nutt. 的干燥头状花序, 俗称“血菊”, 维吾尔语称为“古丽恰尔”(Gulqai)^[1-2], 始载《新华本草纲要》, 味甘、性平, 归肝与大肠

经, 具有清湿热、解毒消痈之功效^[3]。雪菊原产于美国中西部地区, 现于中国新疆部分地区大面积栽培, 且多生长在雪线>3 000 m 处^[4-5]。现代研究表明^[6-10], 雪菊含黄酮、酚酸、苯丙素、聚炔、

基金项目: 山东省中医药科技发展计划项目(2019-0022)

作者简介: 程伟, 男, 硕士生 E-mail: 1223966167@qq.com
chenxinmei@sutcm.edu.cn

*通信作者: 陈新梅, 女, 博士, 副教授, 研导 E-mail:

多糖、皂苷、脂肪酸、氨基酸、挥发油等成分，具有抗衰老、抗氧化、降血压、降血脂、降血糖、抗炎及抗肿瘤等药理作用。目前针对雪菊化学成分以及药理作用研究较多，指纹图谱及不同产地雪菊质量研究较少。在现有指纹图谱研究中，大部分仅建立了指纹图谱，缺少指纹图谱数据分析^[11-15]，或雪菊作为次变量进行分析研究^[16]。故本研究收集不同产地雪菊，采用 HPLC 建立指纹图谱，对 HPLC 指纹图谱数据进行深入挖掘，通过化学计量学方法，对 4 个产地雪菊进行整体评价，并依据差异成分测定其含量，通过指纹图谱的模糊性、整体性特征结合含量测定的准确性特征，更好地反映不同产地雪菊整体质量，以期为雪菊质量评价研究提供依据。

1 仪器与试剂

LC-16 型高效液相色谱仪(日本岛津公司)；MS105DU 十万分之一电子天平(瑞士梅特勒公司)；FA1004 万分之一电子天平(上海舜宇衡平科学仪器有限公司)；KQ-250DE 数控超声波清洗器(昆山市超声仪器有限公司)；750T 多功能粉碎机(西厨电器有限公司)。

绿原酸(批号：Y20A11K111541；纯度≥98%)、芦丁(批号：Y16M9S61523；纯度≥98%)均购自上海源叶生物科技有限公司；黄诺马苷(批号：161205；纯度≥98%)、马里苷(批号：161019；纯度≥98.5%)均购自成都昂赛斯生物科技有限公司；乙腈(色谱纯)、甲醇(色谱纯)均购自山东禹王和天下新材料有限公司；磷酸(色谱纯，天津市科密欧化学试剂有限公司)；实验用水为纯净水。

12 批雪菊购自新疆、青海、西藏、云南，经山东中医药大学冯帅副教授鉴定为菊科金鸡菊属两色金鸡菊(*Coreopsis tinctoria* Nutt.)的头状花序，信息见表 1。

2 方法与结果

2.1 对照品溶液的制备

取绿原酸、黄诺马苷、芦丁、马里苷对照品适量，精密称定，加甲醇溶解，配制成浓度分别为 98, 156, 78, 378 $\mu\text{g}\cdot\text{mL}^{-1}$ 的对照品溶液。

2.2 供试品溶液的制备^[17]

称取雪菊粉末(过三号筛)1.00 g，置圆底烧瓶中，加入体积分数 60% 的乙醇 67 mL，于 80 °C 水浴锅回流提取 21 min，提取 3 次，合并滤液，抽滤，加 60% 乙醇定容至 200 mL，取定容后溶液过 0.22 μm 微孔滤膜过滤，即得。

表 1 雪菊样品信息

Tab. 1 Sample information of *Coreopsis tinctoria*

| 批次 | 产地 | 批号 |
|-----|-------|----------|
| S1 | 新疆克里阳 | 20200807 |
| S2 | 新疆库尔勒 | 20200726 |
| S3 | 新疆克里阳 | 20191014 |
| S4 | 青海西宁 | 20200715 |
| S5 | 青海西宁 | 20200305 |
| S6 | 青海都兰 | 20200805 |
| S7 | 云南昆明 | 20191201 |
| S8 | 云南丽江 | 20200727 |
| S9 | 云南丽江 | 20200708 |
| S10 | 西藏林芝 | 20200801 |
| S11 | 西藏林芝 | 20200724 |
| S12 | 西藏拉萨 | 20200722 |

2.3 色谱条件

依利特 SinoChrom ODS-BP C₁₈ 色谱柱(4.6 mm×250 mm, 5 μm)；流动相为乙腈(A)-0.1% 磷酸水溶液(B)，梯度洗脱(0~5 min, 5%→21%A；5~35 min, 21%→27%A；35~50 min, 27%→44%A；50~60 min, 44%→100%A；60~65 min, 100%A)；流速 0.6 mL·min⁻¹；柱温 30 °C；检测波长 295 nm；进样量 20 μL 。

2.4 雪菊指纹图谱的建立

2.4.1 方法学考察 取同一供试品溶液(S1)，按“2.3”项下色谱条件连续进样 6 次，以 10 号色谱峰为参照峰(S)，计算得到各共有峰相对保留时间为 0.09%~0.73%，相对峰面积 RSD 为 0.51%~2.81%；取同一样品(S1)6 份，按“2.2”项下配制供试品溶液，按“2.3”项下色谱条件进样，以 10 号色谱峰为参照峰(S)，计算得到各共有峰相对保留时间的 RSD 为 0.15%~2.22%，相对峰面积 RSD 为 0.57%~2.75%，取同一供试品溶液(S1)，按“2.3”项下色谱条件，分别于 0, 8, 16, 24, 36, 48 h 进样检测，以 10 号色谱峰为参照峰(S)，计算得到各共有峰相对保留时间的 RSD 为 0.14%~1.12%，相对峰面积 RSD 为 0.68%~2.92%，表明仪器精密度、供试品溶液稳定性和方法重复性均良好。

2.4.2 指纹图谱的建立及相似度评价 取 S1~S12 雪菊样品，按“2.2”项下方法制备供试品溶液，按“2.3”项下色谱条件分别进样，记录色谱图，将数据导入《中药色谱指纹图谱相似度评价系统》(2012 版)，设置 S1 为参照图谱，时间窗宽度为 0.1 min，采用中位数法，进行多点校正与全谱峰匹配，生成雪菊指纹图谱及对照图谱(图 1)。共标定 21 个共有峰，S1~S12 雪菊指纹图谱与对照图谱相似度分别为 0.994, 0.997, 0.978, 0.993, 0.990,

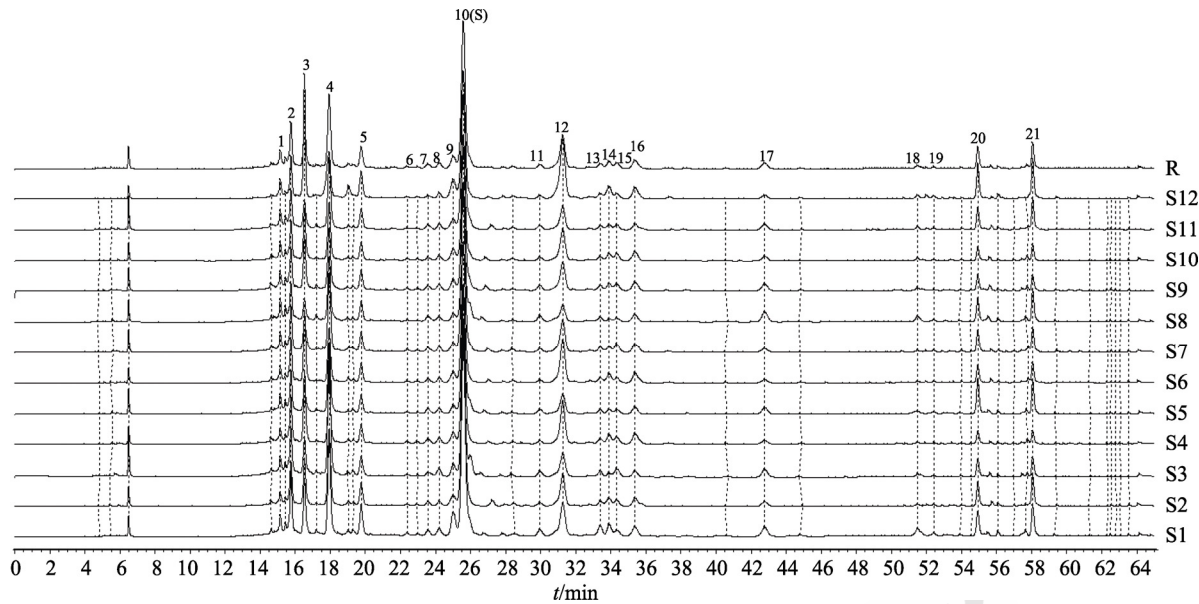


图 1 12 批雪菊药材的 HPLC 指纹图谱

R—对照指纹图谱。

Fig. 1 HPLC fingerprints of twelve batches of *Coreopsis tinctorial*
R—Reference fingerprint.

0.990, 0.997, 0.983, 0.997, 0.997, 0.993, 0.942, 相似度范围为 0.942~0.997, 表明各产地雪菊指纹图谱基本一致, 质量相对稳定。

2.5 指纹图谱的化学计量学研究

2.5.1 聚类分析 将 12 批雪菊样品中 21 个共有峰面积导入 SPSS 25.0 软件, 选择组间联接聚类方法, 平方欧式距离(d)为测量区间, 进行系统聚类分析, 见图 2。以 $d=15$ 划分, 共聚为 3 类: S12(西藏拉萨)单独聚为一类; S1(新疆克里阳)与 S3(新疆克里阳)聚为一类; S2(新疆库尔勒)、S4~S6(青海)、S7~S9(云南)、S10~S11(西藏林芝)共聚为一类。

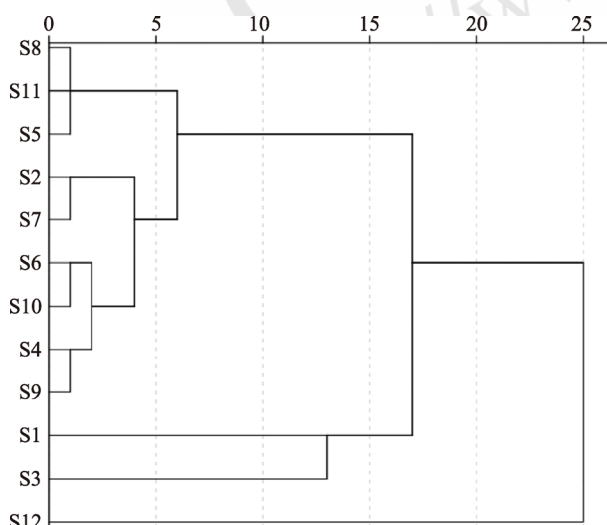


图 2 聚类分析结果

Fig. 2 Result of cluster analysis

2.5.2 主成分分析^[18] 将 12 批雪菊样品中 21 个共有峰面积导入 SPSS 25.0 软件, 进行标准化处理, 进行主成分分析, 见表 2。以特征值>1 为筛选条件, 共得出 4 个主成分, 累计贡献率达到 87.964%, 可以反映雪菊样品中大多数变异信息。

表 2 4 个主成分的特征值与方差百分比

Tab. 2 Eigenvalues and variance percentage of the 4 principal components

| 主成分 | 特征值 | 方差百分比/% | 累积方差百分比/% |
|-----|-------|---------|-----------|
| 1 | 8.604 | 40.973 | 40.973 |
| 2 | 4.370 | 20.808 | 61.782 |
| 3 | 3.846 | 18.316 | 80.098 |
| 4 | 1.652 | 7.867 | 87.964 |

利用特征值与标准化处理后的共有峰面积计算特征向量, 可得出 4 个主成分表达式, 见表 3。通过该表达式计算各样品主成分得分, 按方差百分比计算综合得分, 得到不同产地雪菊综合得分表, 见表 4。

2.5.3 偏最小二乘法判别分析(partial least square discriminant analysis, PLS-DA) 将 12 批雪菊 21 个标准化共有峰面积导入 SIMCA-P 14.1 软件中, 选择 PLS-DA 分析, 生成得分散点图与 VIP 值图^[19], 见图 3~4。PLS-DA 得分图可看出 12 批样品被分为 3 类: S1、S3 一类, S12 一类, S2、S4~S11 一类, 与聚类分析结果一致。VIP 值表示每个变量对差异所起的贡献值, 在 95% 置信区间

表3 4个主成分表达式

Tab. 3 Expression of the 4 principal components

| 主成分 | 表达式 |
|-------|--|
| Y_1 | $0.260X_1+0.168X_2-0.275X_3+0.258X_4-0.101X_5+0.287X_6+0.264X_7+0.271X_8-0.114X_9+0.166X_{10}+0.254X_{11}-0.298X_{12}+0.138X_{13}-0.299X_{14}+0.011X_{15}-0.312X_{16}+0.288X_{17}+0.192X_{18}+0.019X_{19}-0.078X_{20}-0.059X_{21}$ |
| Y_2 | $0.027X_1+0.294X_2+0.088X_3+0.188X_4+0.107X_5+0.220X_6-0.098X_7+0.065X_8+0.079X_9+0.251X_{10}-0.175X_{11}+0.088X_{12}+0.101X_{13}+0.068X_{14}+0.366X_{15}+0.066X_{16}-0.158X_{17}-0.322X_{18}-0.353X_{19}-0.331X_{20}-0.416X_{21}$ |
| Y_3 | $0.244X_1+0.223X_2+0.224X_3+0.073X_4+0.380X_5-0.101X_6-0.015X_7+0.160X_8+0.455X_9+0.274X_{10}-0.015X_{11}+0.191X_{12}+0.342X_{13}+0.192X_{14}-0.060X_{15}+0.002X_{16}+0.091X_{17}+0.180X_{18}+0.320X_{19}+0.148X_{20}+0.124X_{21}$ |
| Y_4 | $0.133X_1-0.017X_2-0.027X_3+0.342X_4+0.292X_5+0.045X_6+0.017X_7+0.171X_8-0.080X_9-0.124X_{10}-0.236X_{11}+0.003X_{12}-0.418X_{13}-0.147X_{14}+0.373X_{15}-0.171X_{16}-0.194X_{17}-0.184X_{18}+0.130X_{19}+0.378X_{20}+0.257X_{21}$ |

表4 12批雪菊主成分得分与综合得分

Tab. 4 Principal component scores and comprehensive scores of 12 batches of *Coreopsis tinctoria*

| 编号 | Y_1 得分 | Y_2 得分 | Y_3 得分 | Y_4 得分 | 综合得分 |
|-----|----------|----------|----------|----------|-------|
| S1 | 2.76 | 2.12 | 4.16 | -1.89 | 2.19 |
| S2 | -1.71 | -0.31 | -0.52 | 0.37 | -0.83 |
| S3 | 4.17 | 1.85 | 0.89 | 2.34 | 2.44 |
| S4 | -1.75 | 2.42 | -0.74 | -0.55 | -0.39 |
| S5 | 1.90 | -2.40 | -0.45 | 0.54 | 0.24 |
| S6 | -3.23 | 0.67 | -1.62 | -1.11 | -1.57 |
| S7 | 0.11 | 1.76 | -1.13 | 1.34 | 0.31 |
| S8 | 3.19 | -4.01 | -0.62 | -1.37 | 0.25 |
| S9 | 0.82 | 0.61 | -0.77 | -1.20 | 0.23 |
| S10 | -1.94 | 1.05 | -1.90 | -0.35 | -0.95 |
| S11 | 1.42 | -1.49 | -1.02 | 0.82 | 0.15 |
| S12 | -5.76 | -2.27 | 3.70 | 1.06 | -2.07 |

内, VIP>1.0 的变量发挥着重要的作用, VIP 值介于 0.5~1.0 的变量其重要性级别取决于样品量。21 个变量的 VIP 值大小依次为峰 10(1.90, 马里昔)>峰 4(1.58, 黄诺马昔)>峰 13(1.35)>峰 2(1.30)>峰 8(1.20)>峰 17(1.19)>峰 6(芦丁, 1.147)>峰 16(1.10)>峰 1(0.93)>峰 12(0.89)>峰 7(0.87)>峰 14(0.84)>峰 11(0.83)>峰 3(0.79, 绿原酸)>峰 15(0.69)>峰 20(0.66)>峰 21(0.62)>峰 18(0.33)>峰 5(0.21)>峰 19(0.19)>峰 9(0.11)。指认了部分 VIP 值较大的峰, 包括峰 10(马里昔)、峰 4(黄诺马昔)、峰 6(芦丁)、峰 3(绿原酸), 并选取该 4 种化合物进行含量测定。

2.6 含量测定

2.6.1 线性关系考察 取“2.1”项下对照品溶液, 配制成 6 份不同浓度的混合对照品溶液, 按“2.3”项下色谱条件进行测定, 以峰面积(Y)为纵坐标, 质量浓度(X)为横坐标, 绘制标准曲线, r 均>0.999 6, 表明各成分在相应定量范围内线性关系良好, 见表 5。

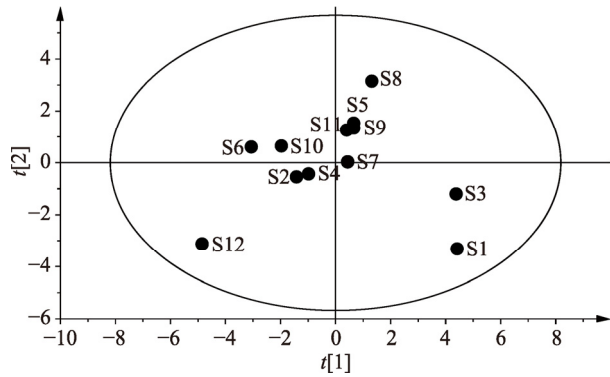


图3 雪菊样品 PLS-DA 得分图

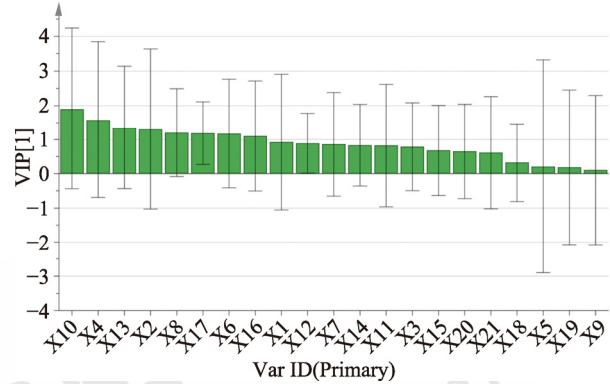
Fig. 3 PLS-DA score plot for *Coreopsis tinctoria* samples

图4 PLS-DA VIP 值图

Fig. 4 VIP plot of PLS-DA

表5 4个成分的回归方程、相关系数和线性范围($n=6$)Tab. 5 Regression equations, correlation coefficients and linear ranges of 4 constituents($n=6$)

| 成分 | 回归方程 | r | 线性范围/ $\mu\text{g}\cdot\text{mL}^{-1}$ |
|------|---------------------|---------|--|
| 绿原酸 | $Y=88.667X-58.900$ | 0.999 7 | 0.98~98.00 |
| 黄诺马昔 | $Y=59.497X-9.490.2$ | 0.999 9 | 1.56~156.00 |
| 芦丁 | $Y=24.928X-9.558.3$ | 0.999 6 | 0.78~78.00 |
| 马里昔 | $Y=37.540X-34.819$ | 0.999 9 | 3.78~378.00 |

2.6.2 仪器精密度试验 取同一供试品溶液(S1), 按“2.3”项下色谱条件连续进样 6 次, 用标准曲线法计算各成分含量, 并计算 RSD。结果显示绿原酸、黄诺马昔、芦丁、马里昔的 RSD 分别为 1.03%, 0.96%, 2.56%, 1.59%, 表明仪器精密度良好。

2.6.3 重复性试验 取同一样品(S1)6 份, 按“2.2”项下方法配制供试品溶液, 按“2.3”项下色谱条件进样, 用标准曲线法计算各成分含量, 并计算 RSD。结果显示绿原酸、黄诺马昔、芦丁、马里昔的 RSD 分别为 2.58%, 1.14%, 1.50%, 1.77%, 表明该方法有良好的重复性。

2.6.4 稳定性试验 取同一供试品溶液(S1), 按“2.3”项下色谱条件, 分别于 0, 8, 16, 24, 36,

48 h 进样检测，用标准曲线法计算各成分含量，并计算 RSD。结果显示绿原酸、黄诺马苷、芦丁、马里昔的 RSD 分别为 1.43%，1.85%，2.48%，2.30%，表明所测成分在 48 h 内稳定性较好。

2.6.5 加样回收率试验 精密称取已知含量的雪菊(S1)样品粉末(过三号筛)1.00 g，平行 6 份，按“2.2”项下方法制备供试品溶液，并精密加入已知浓度的绿原酸、黄诺马苷、芦丁和马里昔对照品溶液 4 mL，按“2.3”项下色谱条件进行测定，计算回收率。绿原酸、黄诺马苷、芦丁和马里昔的平均加样回收率分别为 99.96%，100.97%，102.94%，102.60%，RSD 分别为 2.13%，2.96%，1.74%，2.21%，表明方法准确度良好。

2.6.6 样品测定 按“2.2”项下方法制备样品，“2.3”项下色谱条件进样分析，测定绿原酸、黄诺马苷、芦丁和马里昔的含量，12 批雪菊含量测定结果见表 6。

表 6 雪菊中 4 个成分的含量测定($\bar{x} \pm s$, n=3)
Tab. 6 Contents of 4 constituents in *Coreopsis tinctorial* ($\bar{x} \pm s$, n=3)

| 编号 | 绿原酸 | 黄诺马苷 | 芦丁 | 马里昔 |
|-----|-----------|------------|-----------|------------|
| S1 | 5.03±0.04 | 13.56±0.09 | 1.63±0.03 | 61.25±0.75 |
| S2 | 4.54±0.03 | 11.65±0.32 | 1.29±0.03 | 47.45±0.98 |
| S3 | 3.97±0.11 | 19.82±0.13 | 2.03±0.04 | 50.50±0.47 |
| S4 | 6.79±0.04 | 10.86±0.08 | 1.62±0.03 | 45.59±0.36 |
| S5 | 3.08±0.01 | 12.27±0.05 | 1.70±0.01 | 43.89±0.30 |
| S6 | 6.23±0.04 | 8.82±0.18 | 1.41±0.01 | 41.23±0.70 |
| S7 | 3.91±0.05 | 12.70±0.07 | 1.71±0.05 | 48.20±0.49 |
| S8 | 2.56±0.00 | 10.66±0.17 | 1.53±0.00 | 42.01±0.09 |
| S9 | 5.60±0.11 | 10.65±0.18 | 1.71±0.04 | 46.60±0.43 |
| S10 | 5.13±0.05 | 9.74±0.09 | 1.49±0.02 | 40.05±0.87 |
| S11 | 2.99±0.01 | 11.19±0.19 | 1.57±0.00 | 43.13±0.77 |
| S12 | 9.73±0.08 | 7.44±0.08 | 0.85±0.02 | 40.21±0.22 |

12 批雪菊中绿原酸含量在 2.56~9.73 mg·g⁻¹，黄诺马苷在 7.44~19.82 mg·g⁻¹，芦丁在 0.85~2.03 mg·g⁻¹，马里昔在 40.05~61.25 mg·g⁻¹，新疆雪菊绿原酸、黄诺马苷、芦丁、马里昔平均含量分别为 4.51, 15.01, 1.65, 53.07 mg·g⁻¹，青海雪菊绿原酸、黄诺马苷、芦丁、马里昔平均含量分别为 5.37, 10.65, 1.58, 43.57 mg·g⁻¹，云南雪菊绿原酸、黄诺马苷、芦丁、马里昔平均含量分别为 4.02, 11.34, 1.65, 45.60 mg·g⁻¹，西藏雪菊绿原酸、黄诺马苷、芦丁、马里昔平均含量分别为 5.95, 9.46, 1.30, 41.13 mg·g⁻¹，其中新疆雪菊黄诺马苷、马里昔含量均较高，西藏雪菊黄诺马苷、

马里昔含量均较低。

3 讨论

本研究采用课题组优化过的雪菊醇提取工艺，检测波长考察了 275, 285, 295, 305, 315 nm，流动相系统考察了甲醇-0.1%磷酸水溶液、乙腈-0.1%磷酸水溶液，流速考察了 0.6, 0.8, 1.0, 1.2 mL·min⁻¹，结果表明波长 295 nm，流动相为乙腈-0.1%磷酸水溶液，流速为 0.6 mL·min⁻¹ 时，色谱基线平稳，色谱峰峰形、峰面积及分离度较好。

本研究构建了 12 批雪菊样品 HPLC 指纹图谱，相似度均>0.940，共标定 21 个共有峰。聚类分析表明，新疆克里阳归为一类，青海、云南、西藏林芝、新疆库尔勒归为一类，西藏拉萨归为一类。PLS-DA 分析表明，其分类结果与聚类分析一致，通过 VIP 值筛选差异性成分，指认了差异性成分马里昔、黄诺马苷、芦丁与绿原酸。并对马里昔、黄诺马苷、芦丁与绿原酸进行含量测定，新疆雪菊中马里昔、黄诺马苷含量最高可达 61.25, 19.82 mg·g⁻¹，其余产地则分别介于 40~50, 7~13 mg·g⁻¹，各产地 4 种成分均有差异，尤以新疆与其他地区含量差异明显。

聚类分析结果中的(S1、S3)类马里昔和黄诺马苷含量均较高，S12 类绿原酸含量较高且芦丁和黄诺马苷含量均较低，(S2、S4~S11)类马里昔、芦丁、黄诺马苷含量浮动偏差较小；在主成分分析中，S1 和 S3 的综合得分位列前 2 名，S12 综合得分最低，与聚类分析结果和含量测定结果相符合；在 PLS-DA 分析中，可明显看出 S1、S3 位于右下角区域，S12 单独位于左下角区域，S2、S4~S11 位于中心区域，与聚类分析、主成分分析及含量测定结果相符合。

雪菊的主要活性成分为黄酮类化合物，马里昔与黄诺马苷是雪菊中主要黄酮类成分，其中马里昔对α-葡萄糖苷酶具有较强抑制作用，是抗氧化和降血糖的主要成分^[20~21]；黄诺马苷在改善脂质紊乱、治疗糖尿病肾病、调节氧化损伤方面具有重要作用^[22~23]。新疆克里阳雪菊(S1、S3 类)在主要成分马里昔、黄诺马苷含量上高于其余 2 类，西藏拉萨雪菊(S12 类)芦丁、黄诺马苷含量低于其余 2 类。综上，可初步判断新疆克里阳雪菊质量较优，但新疆克里阳与库尔勒雪菊质量差异较大，云南、青海雪菊批次间质量差异相对较小，西藏林芝雪菊与拉萨雪菊质量具有一定差异。新疆、

西藏雪菊质量存在批次间差异，尚需扩大样本量，减小抽样误差，以进行进一步评价。

本研究基于HPLC建立了12个批次雪菊指纹图谱，结合化学计量学相关知识，并对差异性成分进行含量测定，综合评价了新疆、青海、云南、西藏4个产地雪菊的质量，方法可靠，可以为雪菊的质量评价提供参考。

REFERENCES

- [1] 新疆植物志编辑委员会. 新疆植物志: 第五卷[M]. 乌鲁木齐: 新疆科技卫生出版社, 1999.
- [2] ZHAO W H, ZENG C, QIN D M. Study on the preventive effect and mechanism of Wei medicine Kunlun snow chrysanthemum polysaccharides on carbon tetrachloride-induced acute liver injury in mice[J]. China Pharm(中国药房), 2017, 28(31): 4407-4411.
- [3] REN M M, XIA Y, FENG Z W, et al. Analysis of flavonoids in *Coreopsis tinctoria* by integrating 2D-TLC and HPLC-IT-TOF-MS[J]. China J Chin Mater Med(中国中药杂志), 2019, 44(7): 1403-1409.
- [4] GENG T H, WANG T, GUO Q S, et al. Response surface optimization of purification process for pigment from *Coreopsis tinctoria* by macroporous resins[J]. China J Chin Mater Med(中国中药杂志), 2016, 41(2): 220-225.
- [5] LI Y J, HUANG C R, FU W W, et al. Screening of the active fractions from the *Coreopsis tinctoria* Nutt. Flower on diabetic endothelial protection and determination of the underlying mechanism[J]. J Ethnopharmacol, 2020(253): 112645.
- [6] ZENG X M, HE X Y. Research progress on chemical composition and efficacy of *Coreopsis tinctoria*[J]. Sci Technol Food Indust(食品工业科技), 2019, 40(13): 335-339.
- [7] YAO L, LI J, LI L L, et al. *Coreopsis tinctoria* Nutt ameliorates high glucose-induced renal fibrosis and inflammation via the TGF- β 1/SMADS/AMPK/NF- κ B pathways[J]. BMC Complement Altern Med, 2019, 19(1): 14.
- [8] BEGMATOV N, LI J, BOBAKULOV K, et al. The chemical components of *Coreopsis tinctoria* Nutt. and their antioxidant, antidiabetic and antibacterial activities[J]. Nat Prod Res, 2020, 34(12): 1772-1776.
- [9] ZHANG W S, SUN Q L, ZHENG W, et al. Structural characterization of a polysaccharide from *Coreopsis tinctoria* Nutt. and its function to modify myeloid derived suppressor cells[J]. Int J Biol Macromol, 2019, 126: 926-933.
- [10] HUANG H, ZENG L J, MO Y C, et al. Optimization of ultrasonic extraction of total flavonoids from *Coreopsis tinctoria* nutt. using response surface methodology[J]. Chin J Mod Appl Pharm(中国现代应用药学), 2015, 32(8): 947-951.
- [11] YUAN H, ZHAO J Y, YANG W J. Establishment of fingerprint for Xinjiang chrysanthemum and analysis on its components by UPLC[J]. Chin Tradit Herb Drugs(中草药), 2015, 46(8): 1223-1226.
- [12] DAI D. Study on the enrichment process and chemical characterization of flavonoids of uyghur medicine snow chrysanthemum[D]. Beijing: Beijing University of Chinese Medicine, 2015.
- [13] HUANG H. Studies on quality assessment of *Coreopsis Tinctoria Flos*[D]. Guangzhou: Guangdong Pharmaceutical University, 2016.
- [14] GU W J. Study on the main components and fingerprints of polyacetylene parts of two-color coreopsis flower head[D]. Beijing: Beijing University of Chinese Medicine, 2016.
- [15] LUO Q Z, WU Y N, QI L, et al. Pharmacognosical study of snow chrysanthemum[J]. J Beijing Univ Tradit Chin Med(北京中医药大学学报), 2018, 41(4): 336-341.
- [16] HUANG Y M, SHI Y, HU Y F, et al. Comparative analysis of the chemical components of chrysanthemum from different regions by HPLC combined with chemometrics methods[J]. Chin J Pharm Anal(药物分析杂志), 2016, 36(11): 1941-1951.
- [17] GAO Y, CHEN X M, ZHAO Y, et al. Optimization of extraction for total flavonoids from *Coreopsis tinctoria* nutt. by box-behnken response surface methodology and antioxidant activities[J]. Res Pract Chin Med(现代中药研究与实践), 2019, 33(5): 54-61.
- [18] WANG M J, TANG T T, PAN L H. Quality evaluation of Trichosanthis Fructus in different origin based on HPLC fingerprint and chemical pattern recognition[J]. Chin J Mod Appl Pharm(中国现代应用药学), 2021, 38(8): 919-924.
- [19] YOU M, XIA M Q, YU Y Y, et al. Quality control research of compound Chuipencao decreasing enzyme granules based on fingerprint combined with multi-components chemical pattern analysis[J]. Chin J Mod Appl Pharm(中国现代应用药学), 2020(21): 2610-2616.
- [20] RAN Z, GUO Y L, WANG L F, et al. Analysis of transport mechanism of flavanomarein in MDCK monolayer cell model[J]. Chin J Exp Tradit Med Form(中国实验方剂学杂志), 2019, 25(15): 155-160.
- [21] ZHUO B Y, WEI S L, FENG Z W, et al. Comparative study on quality of snow chrysanthemum and its variation type[J]. J Beijing Univ Tradit Chin Med(北京中医药大学学报), 2021(1): 69-77.
- [22] LE L, FU H, LV Q Y, et al. The protective effects of the native flavanone flavanomarein on neuronal cells damaged by 6-OHDA[J]. Phytomedicine, 2019(53): 193-204.
- [23] ZHANG N N, KANG J S, LIU S S, et al. Flavanomarein inhibits high glucose-stimulated epithelial-mesenchymal transition in HK-2 cells via targeting spleen tyrosine kinase[J]. Sci Rep, 2020, 10(1): 439. Doi: 10.1038/s41598-019-57360-4.

收稿日期: 2021-05-22

(本文责编: 曹粤峰)